



Рис. 3.3. Геоморфологічна карта (за редакцією В. Г. Мельничука)


**УМОВНІ ПОЗНАЧЕННЯ**  
**ГЕНЕТИЧНІ ТИПИ РЕЛЬЄФУ**  
**ЛЬОДОВИКОВИЙ**


 Кінцево-моренний акумулятивно-денудаційний (P<sub>11</sub>)

**ВОДНО-ЛЬОДОВИКОВИЙ**


 Моренно-зандровий акумулятивно-денудаційний (P<sub>11</sub>)

**АЛЮВІАЛЬНИЙ ЕРОЗІЙНО-АКУМУЛЯТИВНИЙ**


 Сучасні річкові заплави та днища балок (Н)

 Перша надзаплавна тераса (a<sup>1</sup>P<sub>11</sub>)


**АКУМУЛЯТИВНИЙ**

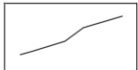
 Озерно-алювіальний (P<sub>11</sub>-Н)

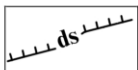
**БЮГЕННИЙ**

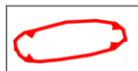
 Заболочені, заторфовані низини та улоговини (Н)

**ФОРМИ ТА ЕЛЕМЕНТИ РЕЛЬЄФУ**

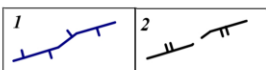
 Еолові акумуляції: дюни, пасма і горби (Н)

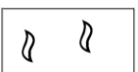
 Границі генетичних типів рельєфу

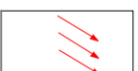
 Тиловий шов річкових акумулятивних терас та їх вік

 Улоговина льодовикового виорювання і розмиву дніпровського часу


**АКТИВНІ ЕКЗОГЕННІ ПРОЦЕСИ**


 1 2 Вододіл: основний (1), другорядний (2)

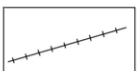
 Розвіювання пісків

 Ділянки річкових долин, де простежується активізація бокової ерозії

**ПРОЯВИ НЕОТЕКТОНІКИ**

 Лінеаменти, що ідентифікуються як розривні порушення, виділені за геоморфологічними даними та дешифруванням МАКЗ

 1 2 Локальні неотектонічні морфоструктури центрального типу за матеріалами аерокосмічного зондування (МАКС), позитивні (1), негативні (2)

 Залізниця

 Державний кордон

 Хотиславський кар'єр